



# 曲面的微分几何

Bryan

参考：陈维桓《微分几何》，do Carmo, Wikipedia

## 1 微分形式

### 1.1 微分形式的定义

考虑  $\mathbb{R}^n$  上的光滑函数  $f(\mathbf{x})$ . 几何上,  $f$  确定了一个嵌入  $\mathbb{R}^{n+1}$  的  $n$  维曲面 (graph):

$$\Sigma: \left\{ (\mathbf{x}, f(\mathbf{x})) \mid \mathbf{x} \in \mathbb{R}^n \right\}, \quad \Sigma \hookrightarrow \mathbb{R}^{n+1}$$

考虑方向微商算子:

$$v^i \frac{\partial}{\partial x^i} : f(\mathbf{x}) \longmapsto \frac{\partial f}{\partial \mathbf{v}}$$

上述表达式采用了爱因斯坦求和约定; 作用于  $f$  的方向微商算子给出了  $\mathbb{R}^{n+1}$  中的切矢量  $(\mathbf{v}, v^i \frac{\partial f}{\partial x^i})$ , 这些切矢量构成了  $\Sigma$  的  $n$  维切平面  $T_{\mathbf{x}}\Sigma$ .  $T_{\mathbf{x}}\Sigma$  可视为线性空间, 称为切空间。

由于  $f$  的任意性, 不妨考虑更一般的算子空间  $T_{\mathbf{x}}$ , 其元素为  $(\mathbf{v}, v^i \frac{\partial}{\partial x^i})$ , 可用  $\mathbb{R}^n$  中的矢量  $\mathbf{v}$  代表之。这样便可进一步定义  $dx^i : T_{\mathbf{x}} \rightarrow \mathbb{R}$ ,

$$dx^i(\mathbf{e}_j) = \delta_j^i, \quad dx^i(\mathbf{v}) = v^i \tag{1.1}$$

其中  $i, j = 1, 2, \dots, n$ .

可见,  $dx^i$  是余切空间  $T_{\mathbf{x}}^*$  的基底, 其作用规则与  $\mathbb{R}^n$  上的投影算子  $\pi^i$  一致。这便是 (一次) 微分形式的定义。实际研究中, 往往直观地将  $dx^i$  视为沿  $e_i$  方向的线元。符号约定: 为简洁起见, 在不至于混淆的情况下, 本文将直接用正常字体表示矢量 (如  $r$ ), 不再加粗 (如  $\mathbf{r}$ )。

### 1.2 外微分形式

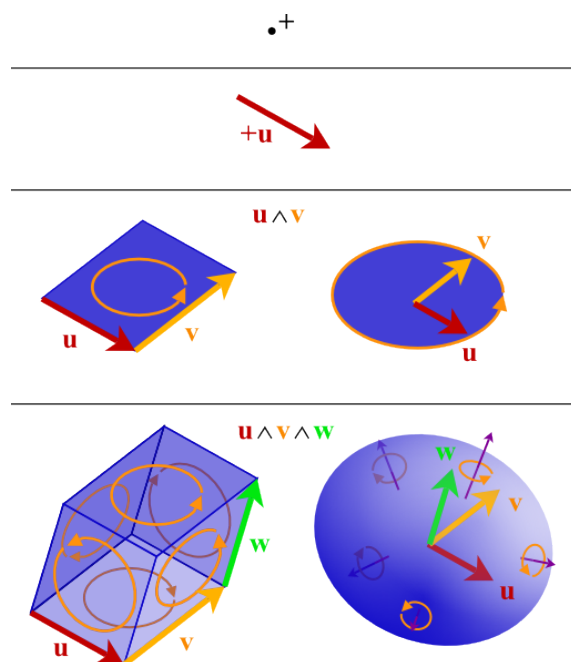
一次微分形式 (1 形式) 描述了  $n$  维空间中的线元。为了描述面元 / 体元, 引入外微分形式。一般来说,  $p$  次外微分形式 ( $p$  形式) 表示  $p$  维面元 / 体元  $d\sigma$ 。

为准确地描述空间的定向, 外微分遵循反对称张量的运算法则。对三维空间中两矢量  $(v_1, v_2)$  构成的面元, 考虑其在以  $+z$  为法向的  $xy$  平面上之投影, 应有:

$$dx \wedge dy(v_1, v_2) = \begin{vmatrix} dx(v_1) & dx(v_2) \\ dy(v_1) & dy(v_2) \end{vmatrix} = \begin{vmatrix} (v_1)_x & (v_2)_x \\ (v_1)_y & (v_2)_y \end{vmatrix} \tag{1.2}$$

将上述结论推广, 一般来说,  $p$  次微分形式 ( $p$  形式) 的基底为  $p$  个 1 形式构成的反对称张量  $\wedge^p dx^{i_k}$ 。考虑矢量组  $(v_1, \dots, v_p)$ , 有:

$$\bigwedge_{k=1}^p dx^{i_k}(v_1, \dots, v_p) = \det(dx^{i_k}(v_j)), \quad k, j: \text{张量 (矩阵) 指标} \tag{1.3}$$



上式与  $\mathbb{E}^3$  中的求积公式吻合，以此定义  $\mathbb{E}^n$  中的面元 / 体元是十分自然的。所有  $p$  形式构成线性空间： $\wedge^p T_{\mathbf{x}}^*$ ，其维度为  $\binom{n}{p}$ 。仍以三维空间中的面元为例，有  $\binom{3}{2} = 3$ ，如上图所示。

### 1.3 外微分算子

外微分算子作用于低阶微分形式上，将其转化为高阶外微分。首先，

$$df = \frac{\partial f}{\partial x^i} dx^i, \quad f: \text{光滑函数} \quad (1.4)$$

定义外微分算子的作用规则：若  $\alpha$  是某 1 形式，例如  $\alpha_i dx^i$ ，则：

$$d\alpha = d(\alpha_i dx^i) = d\alpha_i \wedge dx^i = d\alpha_j \wedge dx^j = \frac{\partial \alpha_j}{\partial x^i} dx^i \wedge dx^j \quad (1.5)$$

应小心上述计算过程中指标的变换，有指标  $i \rightarrow j$ ；一般地，考虑多重指标  $I = (i_1, \dots, i_p)$ ，有：

$$d\alpha = d(\alpha_I dx^I) = \frac{\partial \alpha_I}{\partial x^i} dx^i \wedge dx^I \quad (1.6)$$

由此，可以导出乘积的外微分法则；若  $\alpha$  为  $p$  形式，则：

$$\begin{aligned} d(\alpha \wedge \beta) &= d(\alpha_I \beta_J dx^I \wedge dx^J) \\ &= d(\alpha_I \beta_J) \wedge dx^I \wedge dx^J \\ &= (d\alpha) \wedge \beta + d\beta_J \wedge \alpha \wedge dx^J \\ &= (d\alpha) \wedge \beta + (-1)^p \alpha \wedge d\beta \end{aligned} \quad (1.7)$$

外微分的另一重要性质为：二重外微分  $d(d\cdot) = 0$ 。这同样可以由上述微分法则导出：

$$\begin{aligned} d(d\alpha) &= d\left(\frac{\partial\alpha_I}{\partial x^i} dx^i \wedge dx^I\right) \\ &= d\left(\frac{\partial\alpha_I}{\partial x^j} dx^j \wedge dx^I\right) \\ &= \frac{\partial^2\alpha_I}{\partial x^i\partial x^j} dx^i \wedge dx^j \wedge dx^I \end{aligned} \quad (1.8)$$

注意到外积的反对称性： $dx^i \wedge dx^j = -dx^j \wedge dx^i$ ，同时， $\partial_{ij}^2 = \partial_{ji}^2$ ，故：

$$\frac{\partial^2\alpha_I}{\partial x^i\partial x^j} dx^i \wedge dx^j + \frac{\partial^2\alpha_I}{\partial x^j\partial x^i} dx^j \wedge dx^i = 0, \quad \forall i, j$$

从而， $d(d\alpha) \equiv 0$ 。

需要说明的是， $\partial_{ij}^2 = \partial_{ji}^2$  看似是曲面连续性的平凡推论，但事实上与曲面嵌入的外围空间之平坦特性有关。

注意，二重外微分与通常的二阶微分意义完全不同；一般来说，

$$d^2f = \left(dx^i \frac{\partial}{\partial x^i}\right)^2 f \neq 0 \quad (1.9)$$

结果是关于  $dx^i$  的二次型。由于二阶外微分恒为 0，故此若出现  $d^2$  记号，指通常的二阶微分。

#### 1.4 外微分运算的几何意义

之所以按上述法则定义外微分运算，是为了使之满足 Stokes 定理：

$$\int_{\partial\Omega} \alpha = \int_{\Omega} d\alpha \quad (1.10)$$

记  $\alpha = \alpha_I dx^I$ ，上式可展开为：

$$\int_{\partial\Omega} \alpha_I dx^I = \int_{\Omega} \frac{\partial\alpha_I}{\partial x^i} dx^i \wedge dx^I \quad (1.11)$$

结合微积分基本定理，即可证明 Stokes 定理；Stokes 定理本身则为微积分基本定理的推广。

因此，上述定义保证了以下事实，那就是外微分运算是作用于 0 形式（光滑函数）上的微分运算之直接推广。如果外微分  $\alpha$  表述了某一流形在某一系列边界上的量，则  $d\alpha$  将给出该量在边界包围的内部的变化情形。或者说，边界量  $\alpha$  的变化特征  $d\alpha$  在连续性条件下将给出边界内部的描述。

下面应用微分形式的语言，给出二维曲面的基本描述。这一语言及其描述的曲面特征可以方便地推广到多维情形，用以研究所谓黎曼流形的微分几何。

## 2 二维曲面的基本特征

$\mathbb{R}^3$  中的正则参数曲面通过非退化映射:

$$r: \mathcal{D} \rightarrow \mathbb{R}^3$$

定义。记  $(u, v) \xrightarrow{r} (x, y, z)$ , 要求  $\frac{\partial(x, y, z)}{\partial(u, v)} \neq 0$ , 即  $\text{rank } \nabla r \neq 0$ , 即:

$$r_u \times r_v \neq 0$$

此时,  $r: \mathcal{D} \rightarrow \Sigma \hookrightarrow \mathbb{R}^3$  为局部微分同胚, 或称为浸入 (immersion)。为便于书写, 且便于推广到高维情形, 记  $(u^1, u^2) = (u, v)$ , 同时  $(r^1, r^2, r^3) = (x, y, z)$ 。

### 2.1 曲面上的长度、角度与面积

通过曲面的第一基本形式表征曲面上的长度, 有:

$$I \equiv (dr)^2 = \delta_{ij} dr^i dr^j = \delta_{ij} \left( \frac{\partial r^i}{\partial u^\alpha} du^\alpha \right) \left( \frac{\partial r^j}{\partial u^\beta} du^\beta \right) = \underbrace{\left( \delta_{ij} \frac{\partial r^i}{\partial u^\alpha} \frac{\partial r^j}{\partial u^\beta} \right)}_{g_{\alpha\beta}} du^\alpha du^\beta \quad (2.1)$$

张量  $g_{\alpha\beta}$  称为曲面的度量, 它具有多重的意义:

1. 在某一点  $p$  处, 定义二次型  $I_p(X, Y) = g_{\alpha\beta} X^\alpha Y^\beta$ , 易验证  $I_p(X, Y)$  是  $p$  处切空间上的内积。其中,  $X^\alpha, Y^\beta$  是切矢量  $X, Y$  在局部坐标系  $(p; r_u, r_v)$  中的分量。
2.  $I_p$  与  $p$  的函数关系确定了一个弯曲的二维空间 (流形), 曲面  $\Sigma$  是该流形嵌入  $\mathbb{R}^3$  中的形象化表示。

事实上,  $r_u = \frac{\partial r}{\partial u}$ , 因此可直观地将  $\frac{\partial}{\partial u}$  看作切矢量, 而  $du$  则是  $dr$  在基底  $\frac{\partial}{\partial u}$  下的坐标。 $du, \frac{\partial}{\partial u}$  互为对偶。为简单起见, 常略去下标  $p$ , 直接将第一基本形式记为  $I$ 。

曲线上的曲线可以通过  $s \xrightarrow{\gamma} \mathcal{D} \xrightarrow{r} \Sigma$  表示, 记两相交曲线在交点处的微元为  $dr, d\tilde{r}$ , 则:

$$\cos \angle(dr, d\tilde{r}) = \left\langle \frac{dr}{ds}, \frac{d\tilde{r}}{ds} \right\rangle = I \left( \frac{dr}{ds}, \frac{d\tilde{r}}{ds} \right) \quad (2.2)$$

$s$  是两曲线的弧长参数。

利用矢量积与标量积的关系, 可以导出面积微元的大小; 利用外积  $\wedge$ , 可将  $d\sigma$  形式地表示为:

$$d\sigma = \|r_u \times r_v\| du \wedge dv = \sqrt{\det(g_{ij})} du \wedge dv \quad (2.3)$$

可以证明, 上述几何量的形式在参数变化下不变。

在上面的记号中,  $(g_{ij})$  意指张量  $g_{ij}$  的矩阵表示。对于二阶张量来说, 其矩阵表示是方便可行且较为形象的。在不至于混淆的情形下, 简记矩阵  $(g_{ij}) = g$ 。

## 2.2 切向量场的正交化

考虑函数关系  $r_u = r_u(u, v)$ , 可见  $r_u$  定义了  $\Sigma$  上的一个切向量场。  $r_v$  亦然。微分方程的理论告诉我们, 给定  $\Sigma$  上的任意线性无关向量场  $(a, b)$ , 总可以找到适当的积分因子, 使点  $p$  邻域内的曲面重新参数化, 从而:

$$r_{\tilde{u}} \parallel a, \quad r_{\tilde{v}} \parallel b$$

不妨取  $(a, b)$  为 Schmidt 正交化后的  $(r_u, r_v)$ , 则  $(\tilde{u}, \tilde{v})$  对应的参数曲线网是正交的。重记新参数为  $(u, v)$ , 则此时第一基本型简化为:

$$I = \|r_u\|^2 (du)^2 + \|r_v\|^2 (dv)^2$$

## 3 曲面间的对应

考察参数曲面的定义  $r: \mathcal{D} \rightarrow \Sigma$ , 这实际上描述了平面区域  $\mathcal{D}$  到曲面  $\Sigma$  的一个充分光滑的对应。一般地, 考虑曲面  $\Sigma$  和  $\tilde{\Sigma}$ , 考察它们之间的对应  $\sigma: \Sigma \rightarrow \tilde{\Sigma}$ , 若  $p \mapsto \tilde{p}$ , 则可通过  $\sigma$  诱导两处切空间上的映射  $d\sigma$ , 称为前推 (pushforward, 又记作  $\sigma_*$ )。

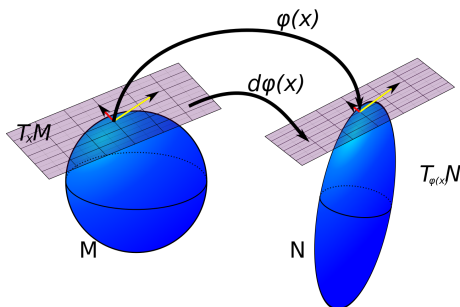
$$\begin{array}{ccc} T\Sigma & \xrightarrow{d\sigma} & T\tilde{\Sigma} \\ \pi_\Sigma \downarrow & & \downarrow \pi_{\tilde{\Sigma}} \\ \Sigma & \xrightarrow{\sigma} & \tilde{\Sigma} \\ (u, v) & & (\tilde{u}, \tilde{v}) \end{array}$$

切空间的映射——前推

定义  $d\sigma$ , 使得  $\Sigma$  上曲线  $\gamma$  与对应的  $\tilde{\Sigma}$  上曲线  $\tilde{\gamma}$  的切向一致, 则:

$$d\sigma \left( \frac{\partial}{\partial u^\alpha} \right) = \frac{\partial \tilde{u}^\beta}{\partial u^\alpha} \frac{\partial}{\partial \tilde{u}^\beta}, \quad \sigma_*(r_u, r_v) = (\tilde{r}_{\tilde{u}}, \tilde{r}_{\tilde{v}}) \left( \frac{\partial(\tilde{u}, \tilde{v})}{\partial(u, v)} \right) \quad (3.1)$$

直观的图像如下所示。若  $\Sigma$  是平直空间  $\mathcal{D}$ , 则  $d\sigma$  正是多元微积分中定义的导映射。



上面的记号中, Jacobian 矩阵  $\left(\frac{\partial(\tilde{u}, \tilde{v})}{\partial(u, v)}\right) = \nabla\left(\begin{smallmatrix} \tilde{u} \\ \tilde{v} \end{smallmatrix}\right)$ ,  $\nabla = (\partial_u, \partial_v)$  为行矢量。一般地, 对  $T\Sigma$  中以坐标  $X$  表示的矢量, 有以下关系:

$$\sigma_*(X) = d\sigma(X^\alpha \partial_\alpha) = \tilde{\partial}_\beta \frac{\partial \tilde{u}^\beta}{\partial u^\alpha} X^\alpha = \left(\frac{\partial(\tilde{u}, \tilde{v})}{\partial(u, v)}\right) X \quad (3.2)$$

$\left(\frac{\partial(\tilde{u}, \tilde{v})}{\partial(u, v)}\right) X$  正是前推矢量在  $T\tilde{\Sigma}$  中的坐标表示。可类似地定义拉回  $\sigma^*: T^*\tilde{\Sigma} \rightarrow T^*\Sigma$ . 有:

$$\sigma^*(d\tilde{u}^\beta) = \frac{\partial \tilde{u}^\beta}{\partial u^\alpha} du^\alpha$$

事实上, 如果不考虑严谨性, 由一阶微分形式不变性, 可以直接书写:

$$d\tilde{u}^\beta = \frac{\partial \tilde{u}^\beta}{\partial u^\alpha} du^\alpha, \quad \frac{\partial}{\partial u^\alpha} = \frac{\partial \tilde{u}^\beta}{\partial u^\alpha} \frac{\partial}{\partial \tilde{u}^\beta}$$

但由于  $d\tilde{u}, du$  实际生活在不同的线性空间中,  $\tilde{\partial}, \partial$  亦然。因此有必要定义前推和拉回。

若  $\sigma$  是微分同胚, 则可利用前推、拉回实现曲面的重新参数化。实际上, 我们有两种等价的方式来定义坐标变换: 微分同胚是“主动”坐标变换, 而传统的坐标变换是“被动的”。考虑一个  $n$  维流形  $M$ , 具有坐标函数  $x^\mu$ . 为了变换坐标, 我们要么简单地引进另一个坐标函数  $y^\mu$ , 即保持流形不变而改变坐标映射; 要么我们引进一个微分同胚, 使原来的坐标被拉回从而定义新坐标, 也就是说在流形上移动点, 而考虑新点的坐标。

### 3.1 保长对应与保角对应

保长对应, 意味着  $I(X, X) \equiv I(X) = \tilde{I}(\sigma_*(X))$ . 这表明:

$$g = J^T \tilde{g} J \quad (3.3)$$

其中  $J$  为 Jacobian 矩阵,  $g$  是  $g_{\alpha\beta}$  的矩阵表示,  $\tilde{g}$  亦然。

用微分形式书写, 则:

$$\begin{aligned} I &= g_{\alpha\beta} du^\alpha du^\beta \\ &= \left(\frac{\partial \tilde{u}^i}{\partial u^\alpha} \tilde{g}_{ij} \frac{\partial \tilde{u}^j}{\partial u^\beta}\right) du^\alpha du^\beta \\ &= \tilde{g}_{ij} \left(\frac{\partial \tilde{u}^i}{\partial u^\alpha} du^\alpha\right) \left(\frac{\partial \tilde{u}^j}{\partial u^\beta} du^\beta\right) \\ &= \tilde{g}_{ij} \sigma^*(d\tilde{u}^i) \sigma^*(d\tilde{u}^j) \\ &\equiv \sigma^* \tilde{I} \end{aligned} \quad (3.4)$$

即保长对应的条件可简写为:

$$\sigma^* \tilde{I} = I \quad (3.5)$$

类似地, 保角对应的条件则可以表示为:

$$\sigma^* \tilde{I} = \lambda^2 I \quad (3.6)$$

保角对应常称作共形。

任两个正则参数曲面的局部共形是普遍存在的。事实上,任意二维的正则参数曲面都可在局部与平面建立共形对应,对应关系的寻找可化为柯西—黎曼方程的求解,再进而化为拉普拉斯方程的求解。由偏微分方程理论可得解的存在性。

### 3.2 高斯映射

考察曲面  $\Sigma$  上的单位法向量场:

$$n = \frac{r_u \times r_v}{\|r_u \times r_v\|}$$

$n$  可以视为  $\Sigma \rightarrow S^2$  的光滑映射,称为高斯映射。可以猜想,  $dn$  反映了曲面的弯曲程度。

根据  $n$  选取  $S^2$  上的适用参数系  $(u, v)$ , 此时  $n$  相当于恒同映射。利用 (3.1), 将  $r, \tilde{r}$  置于相同的  $\mathbb{R}^3$  空间中, 可得:

$$n_*(r_u, r_v) = (\tilde{r}_u, \tilde{r}_v) = (n_u, n_v) \quad (3.7)$$

球面  $S^2$  具有很好的一个特性:  $\tilde{n} = \tilde{r}$ , 因此  $\tilde{n} = n$ , 切平面  $T_p\Sigma$  与  $T_{g(p)}S^2$  平行, 可以自然地等同起来。从而,  $n_*$  可以方便地用矩阵形式表示, 记之为  $W$ , 则有:

$$(n_u, n_v) = (r_u, r_v) W \quad (3.8)$$

事实上,  $W$  完整地描述了曲面局部的弯曲情况。有:

$$n_\beta = r_\gamma \delta^{\gamma\alpha} \langle r_\alpha, n_\beta \rangle = r_\gamma W^\gamma_\beta \quad (3.9)$$

## 4 曲面弯曲的描述

### 4.1 曲面局部的近似方程

将曲面  $r(u, v)$  在点  $p$  的局部展开, 有:

$$\Delta r = dr + \frac{1}{2} d^2 r + \dots \quad (4.1)$$

不妨记  $d\rho = (du, dv)^T$ , 则:

$$\begin{aligned} dr &= du^\alpha \frac{\partial r}{\partial u^\alpha} = (\nabla r|_p) d\rho, \\ d^2 r &= \left( du^\alpha \frac{\partial}{\partial u^\alpha} \right)^2 r = \frac{\partial^2 r}{\partial u^\alpha \partial u^\beta} du^\alpha du^\beta = (d\rho)^T (\nabla^T \nabla r|_p) (d\rho) \end{aligned} \quad (4.2)$$

其中,  $\nabla^T \nabla r$  为 Hessian 矩阵。

回顾第一基本形的定义:

$$I = (dr)^2$$

下面定义第二基本形:

$$\Pi = d^2r \cdot n \quad (4.3)$$

它们分别对应 (4.1) 的线性项和二次项。事实上, 取局部标架  $\{p; r_u, r_v, n\}$ , 曲面的方程为:

$$z = \Delta r \cdot n = \frac{1}{2} \Pi(X)|_{X=(x,y)} + \cdots \quad (4.4)$$

跟  $W$  类似,  $\Pi$  描述了曲面局部的弯曲情形。据  $d^2r$  的定义, 有:

$$\Pi = \langle r_{\alpha\beta}, n \rangle du^\alpha du^\beta = b_{\alpha\beta} du^\alpha du^\beta \quad (4.5)$$

注意到,  $0 = \langle r_\alpha, n \rangle = \partial_\beta \langle r_\alpha, n \rangle = \langle r_{\alpha\beta}, n \rangle + \langle r_\alpha, n_\beta \rangle$ , 结合 (3.9), 可得:

$$\begin{aligned} W^\gamma_\beta &= -g^{\gamma\alpha} b_{\alpha\beta} = -b^\gamma_\beta, \\ \Pi = d^2r \cdot n &= -dn \cdot dr = -n_*(dr) \cdot dr \end{aligned} \quad (4.6)$$

可见, 将第二基本量  $b$  用  $g$  单位化, 再加一负号, 即得  $W$ . 写成矩阵形式,

$$W = -g^{-1}b \quad (4.7)$$

也就是说:

$$\Pi \left( \frac{X}{\|X\|} \right) = \frac{\Pi(X)}{I(X)} = -\frac{I(X, WX)}{I(X, X)} \quad (4.8)$$

负号可以通过如下例子来理解: 考虑半径为  $\frac{1}{\kappa}$  的球面, 在其上点  $p$  处建立局部坐标系, 取外法向为  $z$  轴, 有球面方程:

$$z = -\frac{1}{2}\kappa(x^2 + y^2) + \cdots \quad (4.9)$$

即  $\Pi = -\kappa((du)^2 + (dv)^2)$ . 而显然有  $W = \begin{pmatrix} \kappa & \\ & \kappa \end{pmatrix}$ , 两者差一负号。

## 4.2 曲面定向对基本量的影响

若对  $\Sigma$  作一参数变换:  $(u, v) \rightarrow (\tilde{u}, \tilde{v})$ , 易知  $g$  和  $\tilde{g}$  差一合同变换; 对于  $b, \tilde{b}$ , 是否有类似的关系呢? 事实上,

$$\begin{aligned} r_{\tilde{u}} \times r_{\tilde{v}} &= \det \left( \frac{\partial(\tilde{u}, \tilde{v})}{\partial(u, v)} \right) r_u \times r_v, \\ \tilde{n} &= n \operatorname{sgn} \det \left( \frac{\partial(\tilde{u}, \tilde{v})}{\partial(u, v)} \right) \end{aligned} \quad (4.10)$$

若等式右边的行列式为正, 则  $\tilde{n} = n$ , 根据  $b$  的定义, 可知  $b, \tilde{b}$  确实差一合同变换; 若等式右边的行列式为负, 则这一参数变换改变了曲面的定向, 此时  $\tilde{b}$  与  $b$  不仅差一合同变换, 还差一符号。

### 4.3 曲面的各种曲率

一般情况下,  $r_{uv} = r_{vu}$ , 而:

$$\langle r_\alpha, n_\beta \rangle = -\langle r_{\alpha\beta}, n \rangle = -\langle r_{\beta\alpha}, n \rangle = \langle r_\beta, n_\alpha \rangle = \langle n_\alpha, r_\beta \rangle$$

即  $n_*$  是自伴算符,  $W$  是对称矩阵.  $W$  总有  $\dim \Sigma$  个实特征值, 记为  $\kappa_i$ , 称  $\kappa_i$  为  $\Sigma$  的主曲率.

在不改变定向的参数变换下, 容易验证,  $W$  和  $\widetilde{W}$  之间差一相似变换,  $\{\kappa_i\}$  不变. 因此  $\kappa_i$  是几何量, 与参数选取无关 (但与曲面定向有关).

考虑由  $\{\kappa_i\}$  构成的对称多项式, 定义:

$$\begin{aligned} \text{平均曲率: } H = \bar{\kappa} &= \frac{1}{\dim \Sigma} \operatorname{tr} W, \\ \text{高斯曲率: } K &= \prod_i \kappa_i = \det W, \end{aligned} \quad (4.11)$$

它们都是几何量; 平均曲率还常简称为中曲率. 二维的情形下,  $K$  与定向选取无关.

$K, H$  都有明确的几何意义. 事实上,  $|K|$  是高斯映射的面积放大率:

$$dn(\sigma) = \|n_u \times n_v\| du \wedge dv = |K| \|r_u \times r_v\| du \wedge dv = |K| d\sigma \quad (4.12)$$

$K < 0$  意味着高斯映射改变了面元的定向. 相应地,  $2H = \frac{\delta A}{\delta V}$ , 其中  $\delta A$  为面积的变分,  $\delta V$  为曲面所围体积的变分. 取  $\delta r = n \delta l$ , 证明如下:

$$\begin{aligned} A &= \int_{\mathcal{D}} \|\xi\| du dv, \quad \xi = r_u \times r_v, \\ \therefore \delta A &= \int_{\mathcal{D}} \delta \|\xi\| du dv \end{aligned} \quad (4.13)$$

而  $\frac{\delta \|\xi\|}{\delta l} = \frac{\xi}{\|\xi\|} \cdot \frac{\delta \xi}{\delta l} = n \cdot \frac{\delta \xi}{\delta l}$ , 考察  $\Delta \xi$  含法向分量的线性部分, 有:

$$\begin{aligned} \Delta \xi &= \tilde{r}_u \times \tilde{r}_v - r_u \times r_v \\ &= (r + n \delta l)_u \times (r + n \delta l)_v - r_u \times r_v \\ &= (r_u \times n_v + n_u \times r_v) \delta l + \dots \end{aligned} \quad (4.14)$$

( $\dots$ ) 中包含纯粹的切向分量, 以及  $\delta l$  的高阶成分, 均可忽略, 可得:

$$\begin{aligned} \delta \|\xi\| &= \delta \xi \cdot n = \delta l (r_u \times n_v + n_u \times r_v) \cdot n \\ &= \delta l (r_u \times W_2^2 r_v + W_1^1 r_u \times r_v) \cdot n \\ &= \delta l (\operatorname{tr} W) (r_u \times r_v) \cdot n \\ &= 2H \delta l \|\xi\| \end{aligned} \quad (4.15)$$

因此,

$$\delta A = 2H \delta l \int_{\mathcal{D}} \|\xi\| du dv = 2HA \delta l = 2H \delta V \quad (4.16)$$

## 5 曲面上的微分

### 5.1 自然标架的运动公式

考虑曲面上的局部标架  $\{p; r_u, r_v, n\}$ , 我们已经知道:

$$n_\beta = r_\gamma W_\beta^\gamma = -b_\beta^\gamma r_\gamma \quad (5.1)$$

从标架运动的角度看此公式, 可见其描述了基矢  $n$  的运动, 称之为 Weingarten 公式。

类似地, 考察  $r_u, r_v$  的微商, 有:

$$r_{\alpha\beta} = \Gamma_{\alpha\beta}^\gamma r_\gamma + b_{\alpha\beta} n \quad (5.2)$$

这是 Gauss 公式,  $\Gamma_{\alpha\beta}^\gamma$  是仅与第一基本形有关的系数。

事实上, 有:

$$\begin{aligned} \Gamma_{\alpha\beta}^\gamma &= \Gamma_{\alpha\beta}^\gamma = g^{\gamma\xi} \langle r_\xi, r_{\alpha\beta} \rangle, \\ \Gamma_{\gamma\alpha\beta} &= \langle r_\gamma, r_{\alpha\beta} \rangle, \end{aligned} \quad (5.3)$$

注意到,  $g_{\alpha\beta} = \langle r_\alpha, r_\beta \rangle$ , 因此,

$$\frac{\partial g_{\alpha\beta}}{\partial u^\gamma} = \Gamma_{\beta\alpha\gamma} + \Gamma_{\alpha\beta\gamma} \quad (5.4)$$

### 5.2 协变微分

根据 Gauss 公式, 有:

$$r_{\alpha\beta} = \Gamma_{\alpha\beta}^\gamma r_\gamma + b_{\alpha\beta} n \quad (5.5)$$

当我们只关注曲面的内蕴几何时, 等号右边的第二项是无关紧要的; 此时, 考察投影:

$$r_{\alpha\beta}^\top = \Gamma_{\alpha\beta}^\gamma r_\gamma$$

这称为  $r_\alpha$  沿参数曲线的协变微商。

进而, 对任意切矢量场  $X = x^\gamma r_\gamma$ , 有协变微分:

$$\begin{aligned} DX &= (dX)^\top = dx^\alpha r_\alpha + x^\alpha (dr_\alpha)^\top \\ &= dx^\alpha r_\alpha + x^\alpha r_{\alpha\beta}^\top du^\beta \\ &= \left( dx^\gamma + x^\alpha \Gamma_{\alpha\beta}^\gamma du^\beta \right) r_\gamma \\ &= \left( \frac{\partial x^\gamma}{\partial u^\beta} + x^\alpha \Gamma_{\alpha\beta}^\gamma \right) du^\beta r_\gamma \end{aligned}$$

由此定义切矢量场 (分量) 沿参数曲线的协变微商:

$$\nabla_\beta x^\gamma = \frac{\partial x^\gamma}{\partial u^\beta} + x^\alpha \Gamma_{\alpha\beta}^\gamma \quad (5.6)$$

上式中, 第一项正是普通的微商, 而第二项则是标架变动引起的修正项。对矢量场而言, 协变微商与普通偏微商的区别在于, 前者是几何量, 与参数选取无关; 后者虽形式简洁, 但由于矢量场的分量与参数选取相关, 其偏微商自然也与参数的选取相关, 并不具有明确的几何意义。

给定曲线  $r = r(t)$ , 曲线的切向  $\alpha = \alpha^\gamma r_\gamma$ , 自然有沿  $r(t)$  的协变微商:

$$\frac{DX}{dt} = \frac{du^\beta}{dt} (\nabla_\beta x^\gamma) r_\gamma$$

或以分量表示矢量 (Einstein),

$$\frac{Dx^\gamma}{dt} = \frac{du^\beta}{dt} \nabla_\beta x^\gamma \quad (5.7)$$

可见,  $\frac{D}{dt}$  是方向微商满足协变要求下的推广,  $\nabla_\beta$  是作用于矢量场的协变梯度算子, 作用结果是个二阶张量。而对于曲面上的标量场  $f$ , 有  $\nabla_\beta = \partial_\beta$ , 不存在标架变动引起的修正。

利用协变微商, 可以将平面上的平行概念推广到一般的曲面上。称矢量场沿  $r(t)$  平行, 当且仅当  $\frac{DX}{dt} = 0$ 。由此, 还可以根据一点处的矢量  $X_0$  构造出沿  $r(t)$  的平行矢量场  $X|_{r(t)}$ 。

### 5.3 切空间上的联络

前面已经说明, 根据协变微分等于零这一条件, 可以沿曲线  $r(t)$  构造出  $X_0$  的平行切矢量场  $X$ 。这一过程称为切矢量的平行移动 (parallel transport / translation)。

根据协变微分的定义可知, 切矢量平行移动的结果仅仅与曲线及切空间有关; 指定曲线  $\gamma$ , 则协变微商定义在切丛  $\{T_p\Sigma | p \in \gamma\}$  上。切丛以外的区域对协变微商没有影响。

切矢量的平行移动确立了切空间  $T_q\Sigma$  与  $T_p\Sigma$  之间的一种自然的联络 (connection), 这种联络使得我们可以比较不同切空间中的量。一般来说,  $Y|_q, Y|_p$  之间的运算是没有意义的, 因为两者处在不同的切空间中; 而平行移动则建立了  $T_q\Sigma$  与  $T_p\Sigma$  之间的一种等价关系:

$$P: T_p\Sigma \longrightarrow T_q\Sigma$$

$P$  是等距线性同构, 这意味着  $P \in O(2)$ ; 对可定向曲面, 进一步有  $P \in SO(2)$ 。

此时, 取  $q \rightarrow p$ ,  $\gamma$  为一闭合曲线, 则:

$$\text{Hol}_p = \left\{ P_\gamma: T_p\Sigma \longrightarrow T_p\Sigma \mid \forall \gamma \right\}$$

是  $SO(2)$  的子群 (即 holonomy group)。

前述通过切矢量平行移动导出的联络称为 Levi-Civita 联络。切矢量的平行移动是由协变微商导出的, 由此类推, 切丛上的联络一般可通过微分算子  $\nabla$  或微分形式  $Dx^\alpha$  具体地表示出来。

由于微分运算的线性特性, 可以考察微分算子作用到基底上的结果, 其系数便是联络系数。Levi-Civita 联络的联络系数正是  $\Gamma_{\alpha\beta}^\gamma$ , 这是因为,

$$\nabla_\beta r_\alpha = \Gamma_{\alpha\beta}^\gamma r_\gamma \quad (5.8)$$

如果使  $\nabla_\gamma$  与  $x^\gamma$  缩并, 则得到曲面上的散度:

$$\nabla_\gamma x^\gamma \equiv \nabla \cdot X \quad (5.9)$$

取正交标架, 则有  $g_{\alpha\beta} = g_{\alpha\alpha}\delta_\beta^\alpha$ , 从而:

$$\begin{aligned} \Gamma_{\alpha\gamma}^\gamma &= g^{\gamma\epsilon} \langle r_\xi, r_{\alpha\gamma} \rangle = \sum_\gamma g^{\gamma\gamma} \cdot \frac{1}{2} \frac{\partial g_{\gamma\gamma}}{\partial u^\alpha} = \sum_\gamma \frac{1}{2g_{\gamma\gamma}} \frac{\partial g_{\gamma\gamma}}{\partial u^\alpha} = \sum_\gamma \frac{\partial \ln \sqrt{g_{\gamma\gamma}}}{\partial u^\alpha} \\ &= \frac{\partial \ln \sqrt{\det g}}{\partial u^\alpha} = \frac{1}{\sqrt{\det g}} \frac{\partial \sqrt{\det g}}{\partial u^\alpha} \end{aligned}$$

进而,

$$\begin{aligned} \nabla \cdot X &= \nabla_\gamma x^\gamma = \partial_\gamma x^\gamma + \frac{x^\gamma}{\sqrt{\det g}} \frac{\partial \sqrt{\det g}}{\partial u^\gamma} \\ &= \frac{1}{\sqrt{\det g}} \frac{\partial}{\partial u^\gamma} (x^\gamma \sqrt{\det g}) \end{aligned} \quad (5.10)$$

## 6 曲面上的活动标架

前面采用的自然标架是所谓活动标架的特例。一般来说, 活动标架可以与参数系仅保持松弛的关系, 此时考虑标架场沿参数曲线的微商意义不大, 作为替代应考虑标架场沿曲面的微分, 这与参数系的选取无关。在这种情况下, 可利用微分形式的运算统一地得到曲面的几何特性。

若只关心流形的内蕴几何特性, 只需将微分  $d$  替换为协变微分  $D$  即可。事实上, 任一黎曼流形总可光滑嵌入  $\mathbb{E}^n$  中 (*Whitney, Nash*), 而在平坦的外围空间中利用通常微分  $d$  研究流形的特征显然比利用协变微分更加方便, 因此下面依然从外围空间中的标架出发来引入活动标架。

### 6.1 标架空间的结构方程

与自然标架不同, 活动标架可能依赖许多参数。事实上, 考虑一般情形, 记  $\mathbb{R}^n$  中活动标架原点的矢径为  $r$ , 则有:

$$r = r^i \xi_i$$

其中  $\xi_i$  为  $\mathbb{R}^n$  标准基。记活动标架的基底为  $e_j$ , 则:

$$e_j = \xi_i a^i_j$$

可见, 一般来说, 确定  $\mathbb{R}^n$  中的某一活动标架, 须知原点坐标  $r^i$ , 以及基矢参量  $a^i_j$ , 共需  $(n + n^2)$  个参量。这些参量所处的空间  $\mathbb{R}^n \times \text{GL}(n, \mathbb{R})$  称为标架空间。

若只考虑右手系, 则标架空间限制为  $\mathbb{R}^n \times \text{GL}^+(n, \mathbb{R})$ ; 若仅考虑右手单位正交标架, 则可将标架空间进一步限制为  $\mathbb{R}^n \times \text{SO}(n)$ . 再进一步, 若只考虑限制在曲面  $\Sigma$  上的标架, 则  $\mathbb{R}^n$  可限制为  $\Sigma$ . 可见, 在特定条件下, 可以用小于  $(n + n^2)$  个参数来描述活动标架限制在标架空间中的区域; 对于自然标架而言,  $\dim \Sigma$  个参数足矣。

记  $b = a^{-1}$ , 则有  $\xi_k = e_j b^j_k$ . 对矢径取微分, 再于活动标架中表示, 可得:

$$dr = dr^k d\xi_k = \underbrace{(b^j_k dr^k)}_{\omega^j} e_j$$

类似地, 对  $e_i$  微分, 可得:

$$de_i = \xi_k da^k_i = e_j \underbrace{(b^j_k da^k_i)}_{\omega^j_i \sim \omega^j_i}$$

这便是活动标架的微分公式, 可以视作自然标架运动公式的推广。

上面的  $\omega^j, \omega^j_i$  均为一次微分形式, 称为活动标架的相对分量; 其中,  $\omega^j$  与度量相关,  $\omega^j_i$  与联络相关。称此为相对分量, 是因为这是将微分用局部标架表示的结果, 相应的绝对分量应为前述的  $r^i, a^i_j$  或其微分。

进一步取二阶外微分, 利用乘积的外微分法则, 可得  $\omega^j, \omega^j_i$  应满足的结构方程:

$$d\omega^j = \omega^k \wedge \omega^j_k, \quad d\omega^j_i = \omega^k_i \wedge \omega^j_k \quad (6.1)$$

上式对一般活动标架均成立。它表明, 相对分量  $\omega^j, \omega^j_i$  并不是独立的。

## 6.2 自然标架场的结构方程

自然标架是一种特殊的活动标架, 有  $e_\alpha = r_\alpha, \alpha = 1, 2$ . 此时,

$$dr = r_\alpha du^\alpha$$

可见,  $\omega^\alpha = du^\alpha$ , 记第三个分量为  $\omega^0 = 0$ . 令 Gauss-Weingarten 公式两边与  $du^\beta$  缩并, 可得:

$$dr_\alpha = \underbrace{(\Gamma^\gamma_{\alpha\beta} du^\beta)}_{\omega^\gamma_\alpha, \text{ 联络}} r_\gamma + \underbrace{(b_{\alpha\beta} du^\beta)}_{\omega^\alpha_\beta, \text{ II 基本量}} n, \quad dn = \underbrace{(-b^\gamma_\beta du^\beta)}_{\omega^\gamma_0, \text{ Weingarten 映射}} r_\gamma, \quad \omega^0_0 = 0$$

这便给出了所有相对分量的表达式。用矩阵表示, 各分量的分布如下:

$$d(r_\alpha, n) = (r_\gamma, n) \begin{pmatrix} \omega^\gamma_\alpha & | & \omega^\gamma_0 \\ \hline \omega^0_\alpha & | & \omega^0_0 \end{pmatrix} \quad (6.2)$$

将上述分量表达式代入结构方程, 注意到  $\omega_0 = 0, \omega^0_0 = 0$ , 由于  $\Gamma^\gamma_{\alpha\beta}, b_{\alpha\beta}$  关于下指标  $\alpha, \beta$  对称, 可知第一组结构方程:

$$0 = d\omega^j = \omega^k \wedge \omega^j_k = \omega^\alpha \wedge \omega^j_\alpha = \begin{cases} \Gamma^\gamma_{\alpha\beta} du^\alpha \wedge du^\beta, & j = \gamma = 1, 2 \\ b_{\alpha\beta} du^\alpha \wedge du^\beta, & j = 0 \end{cases}$$

自动成立; 而第二组结构方程可拆分为以下部分:

$$d\omega^0_0 = \omega^0_\beta \wedge \omega^0_\beta, \quad (6.3a)$$

$$d\omega^0_\alpha = \omega^\beta_\alpha \wedge \omega^0_\beta, \quad d\omega^\gamma_0 = \omega^\beta_0 \wedge \omega^\gamma_\beta, \quad (6.3b)$$

$$d\omega^\gamma_\alpha = \omega^\beta_\alpha \wedge \omega^\gamma_\beta + \omega^\alpha_0 \wedge \omega^\gamma_0 \quad (6.3c)$$

其中, (6.3a) 揭示了 II 基本量与 Weingarten 映射的一致性, 事实上,

$$0 = d\omega_0^0 = \omega_0^\beta \wedge \omega_\beta^0 = -b_\alpha^\beta b_{\beta\gamma} du^\alpha \wedge du^\gamma$$

容易证明系数  $(-b_\alpha^\beta b_{\beta\gamma})$  关于  $\alpha, \gamma$  对称, 因此上式自然成立。

同理, 不难理解和证明, (6.3b) 中两式等价, 因此结构方程中的独立、非平凡部分只有两组:

$$d\omega_\alpha^\gamma = \omega_\alpha^\beta \wedge \omega_\beta^\gamma + \omega_\alpha^0 \wedge \omega_0^\gamma \quad (6.4a)$$

$$d\omega_\alpha^0 = \omega_\alpha^\beta \wedge \omega_\beta^0 \quad (6.4b)$$

化简上式, 将得到  $\Gamma_{\alpha\beta}^\gamma$  与  $b_{\alpha\beta}$  应满足的相容性条件。

事实上, 根据  $r_{\alpha\beta\gamma} = r_{\alpha\gamma\beta}$ , 以及  $n_{\beta\gamma} = n_{\gamma\beta}$ , 可以导出与上述方程完全一致的结果。上述两种导出方式的共同点在于, 都使用了二阶偏微商可交换的条件。(结构方程的证明利用了二阶外微分为零的特性, 而这一特性正是二阶偏微商可交换的直接推论。) 其中, (6.4a) 称为 Gauss 方程, (6.4b) 称为 Codazzi 方程。

对于二维的情况, Gauss 方程可约化为:

$$R_{1212} = \det(b_{\alpha\beta}) \quad (6.5)$$

其中,  $R_{\alpha\delta\beta\gamma} = g_{\delta\eta} R_{\alpha\beta\gamma}^\eta$  之定义仅与  $\Gamma_{\alpha\beta}^\gamma$  及其偏微商有关; 相应地, Codazzi 方程则化为关于  $b_{\alpha\beta}$  之偏微商的一组方程; 但是, 在一般形式的 Codazzi 方程中, 难以将  $g$  和  $b$  分离开来, 因此其意义不如 Gauss 方程那么重大 (除非取正交曲率线网时, 这将在后文中详细说明)。

考察曲面上的高斯曲率, 有:

$$K = \frac{\det b}{\det g} = \frac{R_{1212}}{\det g} \quad (6.6)$$

仅仅与第一基本形式有关, 而与第二基本形式无关。这正是高斯绝妙定理。可见, 高斯曲率与第一基本形式是曲面内蕴几何的体现。

### 6.3 单位正交的活动标架

可将自然标架的基矢单位正交化, 得到单位正交活动标架。此时  $\langle e_i, e_j \rangle = \delta_{ij}, \forall i, j$ , 故有:

$$\omega_i^j + \omega_j^i = 0$$

特别对  $i = j$  的情形, 有  $\omega_i^i = 0$ 。

因此, 对一般的单位正交活动标架而言, 相对分量中的可变独立参量至多只有 6 个, 对应刚体的 6 个自由度。如果该单位正交标架是由自然标架正交化得来的, 那么它将只依赖曲面参数  $(u, v)$  以及一个切平面内的任意旋转  $\theta$ 。此时,

$$du^\alpha \xrightarrow[\text{线性变换}]{\text{正交化, 单位化}} \omega^\alpha,$$

在这种情形下, 各相对分量难以像上一节一样用  $\Gamma_{\alpha\beta}^\gamma, b_{\alpha\beta}, g_{\alpha\beta}$  直接表示出来, 但各量的几何意义与对应的自然标架下的量保持一致; 事实上, 总可以在一点处取正交参数系, 再适当重新参数

化, 得到一点处的单位正交自然标架, 使其与所取的活动标架一致。因此,  $\omega_\alpha^\gamma$  依然表示联络, 而  $\omega_\alpha^0, \omega_0^\gamma$  依然与曲面的外在弯曲有关。

注意到,  $e_\alpha$  是  $r_\alpha$  的线性组合, 且满足正交条件, 这导致:

$$I = \sum_{\alpha} (\omega^\alpha)^2, \quad (\omega_i^j) = \left( \begin{array}{cc|c} 0 & -\omega_1^2 & -\omega_1^0 \\ +\omega_1^2 & 0 & -\omega_2^0 \\ \hline +\omega_1^0 & +\omega_2^0 & 0 \end{array} \right)$$

可以将非零的  $\omega_i^j$  用  $\omega^\alpha$  线性表示出来, 这可以通过第一组结构方程  $d\omega^j = \omega^\alpha \wedge \omega_\alpha^j$  实现。

首先, 考虑联络形式  $\omega_1^2$ , 取  $j = \gamma = 1, 2$ , 结合单位正交条件, 方程可约化为:

$$d\omega^\beta = \omega^\alpha \wedge \omega_\alpha^\beta, \quad \alpha \neq \beta$$

设  $\omega_1^2 = p\omega^1 + q\omega^2$ ,  $p, q$  为待定系数, 代入解得:

$$\omega_1^2 = \left( \frac{d\omega^1}{\omega^1 \wedge \omega^2} \right) \omega^1 + \left( \frac{d\omega^2}{\omega^1 \wedge \omega^2} \right) \omega^2 \quad (6.7)$$

欲知  $\omega_\alpha^0$ , 则取  $j = 0$ ,

$$0 = d\omega^0 = \omega^\alpha \wedge \omega_\alpha^0$$

设  $\omega_\alpha^0 = h_{\alpha\beta} \omega^\beta$ , 代入上式, 得:

$$h_{\alpha\beta} \omega^\alpha \wedge \omega_\alpha^0 = 0$$

当且仅当  $h_{\alpha\beta} = h_{\beta\alpha}$  时, 上式成立。

注意到,  $\omega_\alpha^0$  正是 II 基本量对应的微分形式, 有:

$$\omega_\alpha^0 = \langle n, de_\alpha \rangle$$

而:

$$d^2 r = du^\alpha \frac{\partial}{\partial u^\alpha} dr = du^\alpha dr_\alpha = \omega^\alpha de_\alpha$$

从而,

$$II = \langle n, d^2 r \rangle = \omega^\alpha \omega_\alpha^0 = h_{\alpha\beta} \omega^\alpha \omega^\beta$$

比较 II 的两种表达式:

$$II = h_{\alpha\beta} \omega^\alpha \omega^\beta = b_{\alpha\beta} du^\alpha du^\beta \quad (6.8)$$

可由  $b_{\alpha\beta}$  确定  $h_{\alpha\beta}$ , 进而由  $\omega_\alpha^0 = h_{\alpha\beta} \omega^\beta$  确定  $\omega_\alpha^0$ 。

综上所述, 取  $e_\alpha$  落在切平面上的单位正交活动标架, 则  $\omega_\alpha^\gamma$  的非零项由  $\omega^\alpha$  唯一确定; 而  $\omega_\alpha^0$  或  $\omega_0^\gamma$  则须结合曲面的第二基本型确定。

## 6.4 曲面上的几何量

前面已经提及,  $e_\alpha$  落在切平面上的单位正交活动标架并非唯一, 标架之间可以相差一个任意的转角  $\theta$ . 如果曲面上一点处的某一量与该角度无关, 它便是曲面的几何量。

记变换前后的  $e_\alpha$  可通过一旋转矩阵  $R = R_\theta \in \text{SO}(2)$  联系起来, 已知变换前后的不变量:

$$dr = \omega^\alpha e_\alpha, \quad dn = \omega_0^\gamma e_\gamma$$

视  $\omega^\alpha, \omega_0^\gamma$  为列矢, 标架旋转  $\theta$ , 则  $\omega^\alpha, \omega_0^\gamma$  均须左乘  $R^{-1} = R_{(-\theta)}$ . 由此可见, 标架旋转前后,

$$\begin{aligned} d\sigma &= \omega^1 \wedge \omega^2, \quad d\sigma_n = \omega_0^1 \wedge \omega_0^2 = \omega_1^0 \wedge \omega_2^0, \\ I &= \sum_\alpha (\omega^\alpha)^2, \quad \text{II} = \omega^\alpha \omega_\alpha^0 \end{aligned} \quad (6.9)$$

不变, 从而是曲面上的几何量。

又已知  $\text{II} = h_{\alpha\beta} \omega^\alpha \omega^\beta$ , 可得:

$$\tilde{h} = R^T h R = R^{-1} h R$$

即  $\tilde{h}$  为  $h$  做相似变换的结果, 从而其秩和行列式不变, 它们分别对应中曲率和高斯曲率。

事实上,  $d\sigma_n$  正是面元  $d\sigma$  在 Weingarten 映射下的对应, 因为:

$$\omega_0^\gamma = \delta^{\gamma\xi} \langle e_\xi, dn \rangle \quad (6.10)$$

而根据 (3.9), 这正是 Weingarten 映射的像 (的分量)。又知  $\omega_\alpha^0 = h_{\alpha\beta} \omega^\beta$ , 直接计算可得,

$$d\sigma_n = \det h \, d\sigma \quad (6.11)$$

这又一次证明了,  $K = \det h$  是高斯映射的面积放大率。

对联络形式而言, 则有:

$$\omega_\alpha^\gamma = \langle e_\gamma, de_\alpha \rangle \quad (6.12)$$

由于一般来说  $\theta \neq \text{const.}$ , 联络形式并非几何量, 有:

$$\tilde{\omega}_\alpha^\beta = \omega_\alpha^\beta - (-1)^\alpha d\theta, \quad \beta \neq \alpha \quad (6.13)$$

但由于  $d(d\theta) = 0$ , 其微分  $d\omega_\alpha^\gamma$  确是几何量。而且, 对  $\beta \neq \alpha$ , 利用第二组结构方程,

$$d\omega_\alpha^\beta = \omega_\alpha^0 \wedge \omega_0^\beta = (-1)^\alpha K \, d\sigma_n \quad (6.14)$$

从而:

$$K = (-1)^\alpha \frac{d\omega_\alpha^\beta}{\omega^1 \wedge \omega^2}, \quad \beta \neq \alpha \quad (6.15)$$

由于  $d\omega_\alpha^\beta$  仅与  $\omega^\alpha$  有关, 这再一次证明了高斯绝妙定理。

## 7 活动标架的应用

### 7.1 正交参数系上的联络形式

取正交参数网，自然标架（未单位化）的相对分量也将出现反对称性，只是一般来说对角元  $\omega_i^i \neq 0$ 。此时，无须正交化，只需单位化；简记  $g$  的对角元为  $g_{1,2}$ ，有：

$$\omega^\alpha = \sqrt{g_\alpha} du^\alpha, \quad d\sigma = \sqrt{\det g} du^1 \wedge du^2$$

注意，等式右边并不对  $\alpha$  求和。

由于  $\omega^\alpha$  仅与  $du^\alpha$  相差一个系数，可以将其他的相对分量均以  $du^\alpha$  表达出来；若想如上一节一样将它们用  $\omega^\alpha$  表出，只需再考虑系数  $\sqrt{g_\alpha}$  即可。

欲利用 (6.7) 求得联络形式，须先计算  $d\omega^\alpha$ ：

$$d\omega^\alpha = d\sqrt{g_\alpha} \wedge du^\alpha = (\sqrt{g_\alpha})_\beta du^\beta \wedge du^\alpha = (-1)^\alpha (\sqrt{g_\alpha})_\beta \frac{d\sigma}{\sqrt{g_\alpha g_\beta}}, \quad \beta \neq \alpha \quad (7.1)$$

因此，

$$\omega_1^2 = \sum_{\alpha \neq \beta} (-1)^\alpha (\sqrt{g_\alpha})_\beta \frac{\sqrt{g_\alpha} du^\alpha}{\sqrt{g_\alpha g_\beta}} = \sum_{\alpha \neq \beta} (-1)^\alpha \left( \frac{(\sqrt{g_\alpha})_\beta}{\sqrt{g_\beta}} \right) du^\alpha \quad (7.2)$$

利用联络形式在正交参数系下的表达式，结合上一章给出的 (6.15)，可以写出高斯曲率：

$$\begin{aligned} K &= - \sum_{\alpha \neq \beta} (-1)^\alpha \left( \frac{(\sqrt{g_\alpha})_\beta}{\sqrt{g_\beta}} \right)_\beta \frac{du^\beta \wedge du^\alpha}{d\sigma} \\ &= - \frac{1}{\sqrt{\det g}} \sum_{\alpha \neq \beta} \left( \frac{(\sqrt{g_\alpha})_\beta}{\sqrt{g_\beta}} \right)_\beta \end{aligned} \quad (7.3)$$

这便是高斯曲率在正交参数系下的内蕴表达式。

### 7.2 正交曲率线上的相对分量

若取正交的曲率线网作为参数曲线网，类似记  $b$  的对角元为  $b_{1,2}$ ，则有：

$$\Pi = h_{\alpha\beta} \omega^\alpha \omega^\beta = \sum_{\alpha} b_{\alpha\alpha} (du^\alpha)^2$$

已知  $\omega^\alpha = \sqrt{g_\alpha} du^\alpha$ ，比较得  $h$  也是对角化的，对角元为  $\frac{b_\alpha}{g_\alpha}$ ，这与前面定义的主曲率差一符号；为简洁起见，重定义此为主曲率  $\kappa_\alpha$ 。进一步可得：

$$\omega_\alpha^0 = h_{\alpha\beta} \omega^\beta = \kappa_\alpha \sqrt{g_\alpha} du^\alpha = \frac{b_\alpha}{\sqrt{g_\alpha}} du^\alpha$$

注意到，上一章的诸多讨论均只用到了第一组结构方程；第二组结构方程（亦即 Gauss-Codazzi 方程）仅出现了一次，出现在导出  $d\omega_1^2$  表达式，从而给出  $K$  表达式的过程中。下面在正交曲率线网的条件下写出这组方程的显式。

首先, Gauss 方程化为:

$$\det b = -\sqrt{\det g} \sum_{\alpha \neq \beta} \left( \frac{(\sqrt{g_\alpha})_\beta}{\sqrt{g_\beta}} \right)_\beta \quad (7.4)$$

等式右边实际上正是前面定义的  $R_{1212}$ , 如果利用  $K = \det h = \frac{\det b}{\det g}$ , 将再次给出  $K$  的内蕴表达式。这并不稀奇; 事实上, 前面给出  $K$  表达式的过程中, 正是利用了 Gauss 方程。

下面考察 Codazzi 方程。我们从未用过这组方程, 因此它应当导出全新的结论。事实上, 直接代入已知表达式, 简单计算即可得到,

$$(b_\alpha)_\beta = H(g_\alpha)_\beta, \quad \alpha \neq \beta \quad (7.5)$$

其中, 为记号方便, 定义  $H = \frac{1}{2} \sum_\alpha \frac{b_\alpha}{g_\alpha}$ , 与前文的定义差一符号。

### 7.3 曲面上的曲线

沿曲面上的曲线  $r(s)$  确定了一单位切向量场  $X$ , 由前所述, 其协变微分定义为:

$$\begin{aligned} DX &= (dX)^\top = dx^\alpha e_\alpha + x^\alpha (de_\alpha)^\top \\ &= e_\gamma (dx^\gamma + x^\alpha \omega_\alpha^\gamma) \end{aligned}$$

设  $X$  与活动标架夹  $\theta$  角, 则由  $X$  是单位矢量场, 记其法向 (左旋  $\frac{\pi}{2}$ ) 为  $Y$ , 可得:

$$\begin{aligned} X &= (\cos \theta, \sin \theta), \quad Y = (-\sin \theta, \cos \theta) \\ e_\gamma dx^\gamma &= Y d\theta \end{aligned}$$

这便给出了协变微分式的第一项。

至于第二项, 同样将坐标分量的非零部分用  $\theta$  的三角函数表示:

$$e_\gamma x^\alpha \omega_\alpha^\gamma = (\omega_2^1 \sin \theta, \omega_1^2 \cos \theta) = \omega_1^2 Y$$

综合这两项, 可得:

$$DX = Y(d\theta + \omega_1^2) \quad (7.6)$$

取曲线的弧长参数  $s$  为自变量, 则:

$$\omega^1 = (ds) \cos \theta, \quad \omega^2 = (ds) \sin \theta \quad (7.7)$$

定义测地曲率:

$$\kappa_g = \frac{DX}{ds} = \frac{d\theta + \omega_1^2}{ds} \quad (7.8)$$

以描述曲线限制在曲面上的弯曲程度。 $\kappa_g = 0$  意味着沿曲线  $DX = 0$ , 此时曲线为曲面上的测地线。

考虑沿同一曲线平行移动的某矢量场  $V$ , 类似记其法向为  $U$  有:

$$0 = DV = U(d\phi + \omega_1^2)$$

$\phi$  为  $V$  与标架的夹角。这表明,

$$\omega_1^2 = -d\phi \quad (7.9)$$

将其带入 (7.8), 可以得到一个很漂亮的结论:

$$\kappa = \frac{d\theta}{ds} - \frac{d\phi}{ds} \quad (7.10)$$

将  $\kappa$  的联络部分用 (7.2) 和 (7.7) 带入, 可得:

$$\begin{aligned} \kappa_g &= \frac{d\theta}{ds} + \sum_{\alpha \neq \beta} (-1)^\alpha \left( \frac{(\sqrt{g_\alpha})_\beta}{\sqrt{g_\beta}} \right) \frac{du^\alpha}{ds} \\ &= \frac{d\theta}{ds} - \left( \frac{(\sqrt{g_1})_2}{\sqrt{g_2}} \right) \frac{1}{\sqrt{g_1}} \cos \theta + \left( \frac{(\sqrt{g_2})_1}{\sqrt{g_1}} \right) \frac{1}{\sqrt{g_2}} \sin \theta \\ &= \frac{d\theta}{ds} - \frac{(\ln \sqrt{g_1})_2}{\sqrt{g_2}} \cos \theta + \frac{(\ln \sqrt{g_2})_1}{\sqrt{g_1}} \sin \theta \\ &= \frac{d\theta}{ds} - \frac{(\ln g_1)_2}{2\sqrt{g_2}} \cos \theta + \frac{(\ln g_2)_1}{2\sqrt{g_1}} \sin \theta \end{aligned} \quad (7.11)$$

这便是测地曲率在正交参数系下的 Liouville 公式。

联络形式  $\omega_1^2$  将测地曲率和高斯曲率紧密地联系在了一起。事实上,

$$d\theta = \kappa_g ds - \omega_1^2, \quad d\omega_1^2 = -K d\sigma \quad (7.12)$$

将第一式沿连续可微的简单闭曲线  $C$  积分,  $C = \partial D$ ,  $D$  是具有一致定向的单连通区域, 则:

$$2\pi = \oint_C d\theta = \oint_C \kappa_g ds + \iint_D K d\sigma \quad (7.13)$$

积分过程中引用了 Stokes 公式。这便是大名鼎鼎的 Gauss-Bonnet 公式。利用 (7.10) 或直接引用 (7.9), 还可导出切向量平行移动一周的倾角变动:

$$\Delta\phi = \iint_D K d\sigma \quad (7.14)$$

## 8 三维空间的曲线坐标

记空间的标准直角坐标为  $(x, y, z)$ , 依此定义曲面坐标系:

$$q^1 = \xi(x, y, z), \quad q^2 = \eta(x, y, z), \quad q^3 = \zeta(x, y, z), \quad (8.1)$$

为保证  $q^1, q^2, q^3$  相互独立 (或者说, 是完备的), 应要求:

$$\frac{\partial(q^1, q^2, q^3)}{\partial(x, y, z)} \neq 0$$

与三维空间中的二维曲面类似, 通过  $(q^1, q^2, q^3)$  描述的三维空间构成了高维空间中的一个超曲面, 确定了一个具有非平凡度规的流形。可将前述二维曲面的内蕴几何进行推广, 用以描述该三维流形的内蕴几何特性。

## 8.1 霍奇对偶

为了方便地将三维空间中的各种微分算子与  $d$  联系起来, 引入霍奇对偶。  $n$  维空间中所有的  $p$  形式构成线性空间, 由外积的反对称性, 该空间的维数应由组合数确定:

$$\dim_{\mathbb{R}} \bigwedge^p T_{\mathbf{x}}^* = \binom{n}{p} \quad (8.2)$$

由二项式系数的对称性,  $\binom{n}{p} = \binom{n}{n-p}$ , 这说明,

$$\dim_{\mathbb{R}} \bigwedge^p T_{\mathbf{x}}^* = \dim_{\mathbb{R}} \bigwedge^{n-p} T_{\mathbf{x}}^*$$

霍奇对偶 (Hodge dual) 正是给出了  $p$  形式空间和  $n-p$  形式空间的一个同构。若  $(x^1, \dots, x^n)$  为标准直角坐标, 不考虑指标的升降变化, 则可以简单地定义:

$$\star(dx^{i_1} \wedge \dots \wedge dx^{i_p}) = dx^{i_{p+1}} \wedge \dots \wedge dx^{i_n},$$

其中  $i_1, \dots, i_n$  构成  $1, 2, \dots, n$  的偶排列。

利用霍奇对偶, 可以清楚地将  $\mathbb{R}^3$  中的矢量积  $\times$  与外积  $\wedge$  联系在一起。事实上, 将矢量场  $A, B$  写成一次微分形式  $a, b$ , 矢量积对应的微分形式正是:

$$\delta_{ij}(A \times B)^i du^j = \star(a \wedge b) \quad (8.3)$$

对一般的正交坐标系, 则宜包含度规的信息 (这样也保证了微分形式具有一致的长度量纲, 同时也保证了其协变性)。由于仅考虑正交坐标系, 度规张量的非对角元均为 0, 同时对角元非负, 故可取活动标架, 使相对分量:

$$\omega^j = \sqrt{g_j} dx^j$$

将前述定义中的  $dx^j$  均用  $\omega^j$  替代, 得定义:

$$\star(\omega^{i_1} \wedge \dots \wedge \omega^{i_p}) = \omega^{i_{p+1}} \wedge \dots \wedge \omega^{i_n} \quad (8.4)$$

特别地, 有:

$$\star 1 = \sqrt{\det g} dx^1 \wedge \dots \wedge dx^n = dV, \quad \star dx^i = \frac{\sqrt{\det g}}{g_i} dx^I \quad (8.5)$$

其中  $(i, I)$  构成偶排列。考虑  $\mathbb{R}^3$  面元  $d\sigma$ , 有:

$$\star d\sigma^j = \omega^j, \quad \star \omega^j = d\sigma^j \quad (8.6)$$

对于度规矩阵非正定的情形 (例如四维时空, 此时流形为赝黎曼流形), 许多结论可以推广, 但确实需另加讨论, 以处理负数开根的问题; 事实上, 上述根式中可能应加绝对值。

## 8.2 三维微分算子的协变微分形式

梯度、旋度、散度算子有着明确的几何意义，其作用于某一函数所得值的大小与坐标系选取无关，但他们在不同坐标系下的表达式各不相同，这给具体计算带来了很大不便。外微分算子  $d$  也有相似的几何意义，然而其在正交曲面坐标系中有着一致的表达式，若能将梯度、旋度、散度算子用  $d$  配合  $\star$  表达出来，将极大地简化计算。

此节的推导中，为区分矢量、标量，重新引入对矢量记号加粗的约定。有  $\mathbf{A} = A^i \mathbf{e}_i = A^i \mathbf{e}_i$ 。即约定分量记号  $\mathbf{A}^i = A^i$ ， $\mathbf{e}_i$  是正交曲线标架的基矢。首先，

$$du = \delta_{ij}(\nabla u)^i \omega^j \quad (8.7)$$

这是平凡的；事实上，指定由某曲线  $\mathbf{r}(t)$  确定的方向，则方向微商：

$$\frac{du}{dt} = \frac{d\mathbf{r}}{dt} \cdot \nabla u = \delta_{ij}(\nabla u)^i \left(\frac{dr}{dt}\right)^j = \delta_{ij}(\nabla u)^i \omega^j \frac{dt}{dt}$$

消去  $dt$  便得到前述表达式。

将向量场  $\mathbf{A}$  写成微分形式，有：

$$a = \delta_{ij} A^i \omega^j = \mathbf{A} \cdot d\ell$$

比较旋度定理与 Stokes 公式，有：

$$\iint_D (\nabla \times \mathbf{A}) \cdot d\sigma = \oint_C \mathbf{A} \cdot d\ell = \oint_C a = \iint_D da$$

而  $\star d\sigma^j = \omega^j$ ，自然得到，

$$\star da = \delta_{ij}(\nabla \times \mathbf{A})^i \omega^j \quad (8.8)$$

类似地，

$$\mathbf{A} \cdot d\sigma = \delta_{ij} A^i d\sigma^j = \delta_{ij} A^i (\star \omega^j) = \star a$$

比较散度定理与 Stokes 公式，有：

$$\iiint_{\Omega} \nabla \cdot \mathbf{A} dV = \oiint_{\partial\Omega} \mathbf{A} \cdot d\sigma = \oiint_{\partial\Omega} \star a = \iiint_{\Omega} d\star a$$

利用  $\star dV = 1$ ，可得：

$$\star d\star a = \nabla \cdot \mathbf{A} \quad (8.9)$$

在上式中，若  $\mathbf{A} = \nabla u$ ，则  $\nabla \cdot \mathbf{A} = \nabla \cdot \nabla u = \nabla^2 u$ ，此时， $a = du$ ，自然有：

$$\star d\star du = \nabla^2 u \quad (8.10)$$

上述结论汇总如下：

$$\begin{aligned} du &= \delta_{ij}(\nabla u)^i \omega^j \\ \star da &= \delta_{ij}(\nabla \times \mathbf{A})^i \omega^j \\ \star d\star a &= \nabla \cdot \mathbf{A} \\ \star d\star du &= \nabla^2 u \end{aligned} \quad (8.11)$$

### 8.3 指标升降记号

三维微分算子的协变形式可以在记号上进一步得到简化。一般地，考虑矢量场：

$$X = X^i e_i$$

其中  $e_i$  是由正交曲线坐标确定的单位正交基矢。注意到， $e_i = \hat{r}_i$ ，

$$\partial_i \equiv r_i \neq e_i$$

这与二维曲面的情形类似， $e_i$  是由正交曲线系确定的单位正交活动标架之基矢，并不总是自然标架的基矢。以柱坐标  $(\rho, \theta, z)$  为例，有：

$$x = \rho \cos \theta, \quad y = \rho \sin \theta \quad (8.12)$$

已知  $dr = \delta_{ij} dx^i dx^j$ ， $x^i$  是标准正交基下的坐标；根据参数变换的规律可知，

$$g_{ij} = \delta_{lm} \frac{\partial x^l}{\partial q^i} \frac{\partial x^m}{\partial q^j}, \quad (8.13)$$

$$I = (d\rho)^2 + \rho^2 (d\theta)^2 + (dz)^2$$

类比二维曲面的情形，可知，若将该三维流形嵌入平直的  $\mathbb{E}^n$  中，则其基矢：

$$\|r_\rho\| = \|r_z\| = 1, \quad \|r_\theta\| = \rho$$

从而， $\partial_\rho = e_\rho$ ， $\partial_z = e_z$ ，但是  $\partial_\theta = \rho e_\theta$ 。一般来说，对正交曲线标架，有：

$$\begin{aligned} X &= X^i e_i = \tilde{X}^i \partial_i, \\ \partial_i &= \sqrt{g_i} e_i, \quad \tilde{X}^i = \frac{1}{\sqrt{g_i}} X^i \end{aligned} \quad (8.14)$$

记  $X$  在对偶矢量空间中的对应为：

$$X^b = \tilde{X}_i dx^i = g_{ij} \tilde{X}^i dx^j$$

$^b$  表指标下降；相反地， $^\sharp$  表指标上升。对正交曲线标架，将  $\tilde{X}^i$  用  $X^i$  表示，自然得到：

$$X^b = \delta_{ij} X^i \omega^j$$

利用升降记号，可将  $\mathbb{R}^3$  微分算子进一步简化。有：

$$\begin{aligned} \nabla u &= (du)^\sharp \\ \nabla \cdot \mathbf{A} &= \star d \star (\mathbf{A}^b) \\ \nabla \times \mathbf{A} &= (\star d (\mathbf{A}^b))^\sharp \\ \nabla^2 u &= \star d \star du \end{aligned} \quad (8.15)$$

其中，假定  $\nabla u$ ， $\nabla \times \mathbf{A}$  的结果均是列矢。